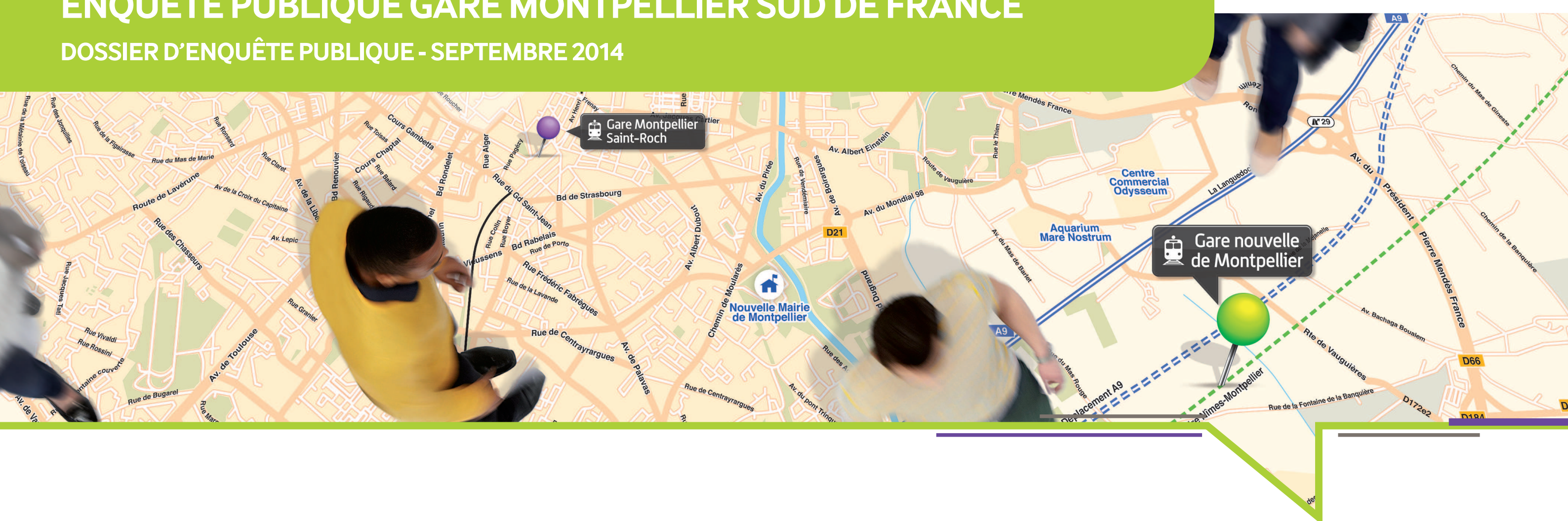




**Gare Montpellier
Sud de France**
GRAND PROJET FERROVIAIRE
SUD EUROPE MÉDITERRANÉE

ENQUÊTE PUBLIQUE GARE MONTPELLIER SUD DE FRANCE

DOSSIER D'ENQUÊTE PUBLIQUE - SEPTEMBRE 2014



Sommaire du Dossier d'Enquête Publique

| | |
|---|-----|
| PIECE A. NOTICE EXPLICATIVE | 5 |
| PIECE B. PLAN DE SITUATION..... | 25 |
| PIECE C. PLAN GENERAL DES TRAVAUX..... | 29 |
| PIECE D. CARACTERISTIQUES DES OUVRAGES LES PLUS IMPORTANTS | 33 |
| PIECE E. APPRECIATION SOMMAIRE DES DEPENSES | 37 |
| PIECE F. ETUDE D'IMPACT ET D'INCIDENCES NATURA 2000 | 39 |
| PIECE G. AVIS DE L'AUTORITE ENVIRONNEMENTALE ET MEMOIRE EN REPONSES | 397 |
| PIECE H. EVALUATION SOCIO-ECONOMIQUE | 399 |
| PIECE I. ANNEXES | 423 |

TABLE DES ILLUSTRATIONS

| | |
|--|-----|
| Figure 1 : localisation du projet CNM et de la gare nouvelle de Montpellier..... | 8 |
| Figure 2 : Localisation de la gare nouvelle de Montpellier | 17 |
| Figure 3 : Schéma de principe du quartier en 2017 : la gare nouvelle et le pôle d'affaires | 18 |
| Figure 4 : Schéma de principe du quartier au-delà de 2025 : la gare nouvelle et le quartier Oz | 18 |
| Figure 5 : Schéma de localisation des deux sites pressentis pour l'implantation de la gare nouvelle de Montpellier – Source RFF – 2008 | 19 |
| Figure 6 : Les infrastructures de transport autour de la gare nouvelle de Montpellier | 20 |
| Figure 7 : Plan des voies de la gare nouvelle | 21 |
| Figure 8 : Coupe transversale du plan de voies et phasage de réalisation | 21 |
| Figure 9 : Vue en coupe de la gare nouvelle de Montpellier..... | 22 |
| Figure 10 : Schéma de principe de la desserte de la gare | 22 |
| Figure 11 : Scénario de desserte par le tramway de la gare et du quartier Oz..... | 23 |
| Figure 12 : Le réseau de cheminements piétons et cyclables du quartier Oz..... | 23 |
| Figure 13 : Localisation du projet CNM et de la gare nouvelle de Montpellier..... | 54 |
| Figure 14 : Plan masse du projet Oz Montpellier Nature..... | 54 |
| Figure 15 : Site d'implantation de la Gare Nouvelle de Montpellier..... | 55 |
| Figure 16 : Coupe nord/sud du site | 55 |
| Figure 17 : Localisation de la gare par rapport aux PPRI en vigueur en décembre2013..... | 57 |
| Figure 18 : Servitudes aéronautiques..... | 60 |
| Figure 19 : Schéma de synthèse des objectifs du PDU | 61 |
| Figure 20 : Plan du réseau de bus | 63 |
| Figure 21 : Les éléments de patrimoine et de paysage du site | 64 |
| Figure 22 : Localisation des deux sites pressentis pour l'implantation de la gare - Source RFF – 2008 | 65 |
| Figure 23 : Périmètre et emprise de la gare nouvelle | 67 |
| Figure 24 : Schéma de localisation du bâtiment-voyageurs et des parkings par rapport à la zone rouge du PPRI | 72 |
| Figure 25 : Hauteurs des précipitations sur la station de Montpellier (Météo France, fiche climatologique 1981-2010)..... | 96 |
| Figure 26 : Courbes des précipitations, Montpellier (Météo France, fiche climatologique 1981-2010) | 96 |
| Figure 27 : Températures sur la station de Montpellier (Météo France, fiche climatologique 1981-2010) | 96 |
| Figure 28 : Courbes des températures, Montpellier (Météo France, fiche climatologique 1981-2010) | 97 |
| Figure 29 : Schéma de principe de la superposition des masses d'eau souterraines (source : BRGM 2006) | 102 |
| Figure 30 : Bassin versant du Lez (SYBLE) | 104 |
| Figure 31: Plan des bassins versants du Nègue-Cats (EGIS – étude hydraulique 2011)..... | 106 |
| Figure 32 : schéma de principe du fonctionnement hydraulique actuel | 109 |
| Figure 33 : Carte du risque inondation par remontées de nappes..... | 114 |
| Figure 34 : Extrait de l'Atlas des zones inondables du bassin versant du Lez | 115 |

| | |
|---|-----|
| Figure 35 : Zonage du PPRI de Lattes | 117 |
| Figure 36 : Évènements climatiques et dates d'arrêtés inondations et coulées de boues (source : MEDDTL, prim.net) | 119 |
| Figure 37 : Nouveau zonage sismique de la France en vigueur (source : Ministère de l'Ecologie, du Développement Durable, des Transports et du Logement)..... | 120 |
| Figure 38 : Evènements et dates d'arrêtés liés à l'aléa mouvement de terrain (source : MEDDTL, prim.net) | 120 |
| Figure 39 : Plan de campagne de terrain de 2012 | 123 |
| Figure 40 : Etapes pour la définition des ZPS et ZSC..... | 124 |
| Figure 41 : Habitats et espèces recensés au sein du SIC « Etang de Mauguio » (Source : MNHN) | 126 |
| Figure 42 : Habitats et espèces recensées au sein du SIC « Etangs » (source : MNHN) | 127 |
| Figure 43 : Habitats et espèces recensées au sein du SIC « Le Lez » (source : MNHN)..... | 128 |
| Figure 44 : Date des arrêtés pour la protection de la faune en France (Legifrance.gouv.fr)..... | 133 |
| Figure 45 : Années de parution des listes rouges de la flore et de la faune menacée de métropole (source : INPN MNHN)... | 134 |
| Figure 46 : Validité des Plans Nationaux d'Action (Source : Ministère de l'Ecologie, du Développement durable et de l'énergie 2012) | 134 |
| Figure 47 : Liste des habitats naturels rencontrés sur la zone d'étude (Biotope)..... | 135 |
| Figure 48 : Valeur patrimoniale des insectes retenus | 139 |
| Figure 49 : Valeur patrimoniale des reptiles retenus | 141 |
| Figure 50 : Valeur patrimoniale des amphibiens retenus..... | 141 |
| Figure 51 : Communes de la zone d'étude (Source : INSEE) | 150 |
| Figure 52 : Evolution démographique dans le Languedoc-Roussillon de 1968 à 2009 (Source : INSEE recensement 2009).... | 151 |
| Figure 53 : Evolution démographique de 1990 à 2009 (Source : INSEE recensement 2009)..... | 151 |
| Figure 54 : Part des tranches d'âges (%) en 2009 (Source : INSEE recensement 2009)..... | 151 |
| Figure 55 : Densité de population de 1999 à 2009 en nombre d'habitants/km ² | 152 |
| Figure 56 : Répartition des secteurs d'activité sur la zone d'étude en 2009 (Source : INSEE RP2009)..... | 153 |
| Figure 57 : Nombre de ménages et part des ménages possédant au moins une voiture en 1999 et 2006 sur les communes de la zone d'étude | 154 |
| Figure 58 : Evolution de l'agriculture entre 1988 et 2000..... | 154 |
| Figure 59 : Ages des chefs d'exploitation en 2000 (Source AGRESTE, recensement agricole 2000) | 155 |
| Figure 60 : zonage du PEB de l'aéroport. La zone d'étude est située dans la zone C du PEB de l'aéroport. | 164 |
| Figure 61 : Caractéristiques des canalisations de transport de gaz sur la zone d'étude (GRTgaz) | 167 |
| Figure 62 : Projet de prolongement du réseau d'eaux brutes (Région Languedoc-Roussillon) | 168 |
| Figure 63 : Carte des anciens sites industriels (BRGM, Basias septembre 2012) | 169 |
| Figure 64 : Trafic moyen journalier annuel (TMJA) (CG34, 2007) | 173 |
| Figure 65 : carte du réseau de transport en commun (extrait de l'étude voiries et déplacements-route de la mer, Egis, janvier 2009) | 174 |
| Figure 66 : Localisation du point de mesure (en bleu)..... | 178 |
| Figure 67 : Evolution des niveaux de bruit en fonction du temps. Les pics correspondent essentiellement au passage d'avions en raison de la proximité de l'aéroport | 178 |
| Figure 68 : Niveaux de bruit résiduel et indices statistiques L90, L50 et L10 sur les périodes réglementaires..... | 178 |

| | | | |
|---|-----|--|-----|
| Figure 69 : Localisation du point de mesure (en bleu) | 179 | Figure 106 : Contours de concentration pour le cadmium (entre 0 et le maximum) pour H2..... | 291 |
| Figure 70 : Evolution des niveaux de bruit en fonction du temps. | 179 | Figure 107 : Contours de concentration pour le monoxyde de carbone (entre 0 et le maximum) pour H2 | 291 |
| Figure 71 : Niveaux de bruit résiduel et indices statistiques L90, L50 et L10 sur les périodes réglementaires. | 179 | Figure 108 : Contours de concentration pour les COV (entre 0 et le maximum) pour H2 | 292 |
| Figure 72 : Localisation du point de mesure (en bleu) | 180 | Figure 109 : Contours de concentration pour le nickel (entre 0 et le maximum) pour H2 | 292 |
| Figure 73 : Evolution des niveaux de bruit en fonction du temps. | 180 | Figure 110 : Contours de concentration pour le dioxyde d'azote (entre 0 et le maximum) pour H2 | 292 |
| Figure 74 : Niveaux de bruit résiduel et indices statistiques L90, L50 et L10 sur les périodes réglementaires. | 180 | Figure 111 : Contours de concentration pour le dioxyde d'azote (entre 0 et le seuil) pour H2 | 292 |
| Figure 75 : Evolution des niveaux de bruit en fonction du temps. En bleu, passage d'un TGV. En noir, le bruit résiduel. | 183 | Figure 112: Contours de concentration pour les Pm10 (entre 0 et le maximum) pour H2..... | 293 |
| Figure 76: Spectre de bruit par bande d'octave lors du passage du TGV. | 183 | Figure 113: Contours de concentration pour le dioxyde de soufre (entre 0 et le maximum) pour H2 | 293 |
| Figure 77 : Evolution des niveaux de bruit en fonction du temps. | 184 | Figure 114: Contours de concentration pour le benzène (entre 0 et le maximum) pour H3 | 294 |
| Figure 78: Spectre de bruit par tiers de bande d'octave lors du freinage du TGV..... | 184 | Figure 115: Contours de concentration pour le cadmium (entre 0 et le maximum) pour H3..... | 294 |
| Figure 79 : Spectre de bruit par tiers de bande d'octave lors du stationnement du TGV..... | 184 | Figure 116: Contours de concentration pour le monoxyde de carbone (entre 0 et le maximum) pour H3 | 294 |
| Figure 80 : Spectre de bruit par tiers de bande d'octave lors de l'accélération du TGV..... | 184 | Figure 117 : Contours de concentration pour les COV (entre 0 et le maximum) pour H2 | 295 |
| Figure 81 : Spectre de bruit par tiers de bande d'octave lors du passage sans arrêt du TGV le plus rapide. | 185 | Figure 118: Contours de concentration pour les COV (entre 0 et le maximum) pour H3 | 295 |
| Figure 82: Comparaison calcul-mesure..... | 187 | Figure 119: Contours de concentration pour le nickel (entre 0 et le maximum) pour H2 | 295 |
| Figure 83: Graphique des résultats en NO ₂ | 194 | Figure 120: Contours de concentration pour le nickel (entre 0 et le maximum) pour H3 | 295 |
| Figure 84: Graphique des résultats en benzène..... | 195 | Figure 121: Contours de concentration pour le dioxyde d'azote (entre 0 et le maximum) pour H3 | 296 |
| Figure 85 : Schéma de localisation des deux sites pressentis pour l'implantation de la gare nouvelle de Montpellier (Source RFF – 2008) | 217 | Figure 122: Contours de concentration pour le dioxyde d'azote (entre 0 et le seuil) pour H3 | 296 |
| Figure 86 : Organisation des infrastructures de transport au sein de l'agglomération..... | 236 | Figure 123: Contours de concentration pour les Pm10 (entre 0 et le maximum) pour H3..... | 296 |
| Figure 87 : Schéma de principe du concept de « Villa Mosaique » du projet Oz..... | 236 | Figure 124: Contours de concentration pour le dioxyde de soufre (entre 0 et le maximum) pour H3 | 296 |
| Figure 88 : Périmètre de la gare nouvelle et localisation du bâtiment-voyageurs et des parkings | 237 | Figure 125 : Localisation des points de mesure..... | 326 |
| Figure 89 : Coupe transversale du plan de voies et phasage de réalisation | 238 | Figure 126 Exemple de plaque orange : en haut, le code danger | 327 |
| Figure 90 : Plan des voies de la gare nouvelle | 238 | Figure 127 : Exemple d'étiquette annonçant le type de danger..... | 327 |
| Figure 91 : Gare de Valence TGV | 238 | Figure 128 : Panneaux de signalisation..... | 327 |
| Figure 92 : Schéma d'insertion de la gare nouvelle | 239 | Figure 129: Localisation des zones sensibles..... | 329 |
| Figure 93 : Répartition du stationnement..... | 239 | Figure 130 : Tracé du Contournement de Nîmes et Montpellier | 334 |
| Figure 94 : Schéma de principe de la desserte de la gare | 240 | Figure 131 : Les onze sites stratégiques de l'agglomération inscrits au SCoT de Montpellier | 335 |
| Figure 95 : Scénario de desserte par le tramway de la gare et du quartier Oz | 240 | Figure 132 : Plan masse du projet Oz Montpellier Nature | 336 |
| Figure 96 : Le réseau de cheminements piétons et cyclables du quartier Oz | 241 | Figure 133: Prolongement de la ligne 1 du tramway au sud de l'agglomération jusqu'à la gare nouvelle | 337 |
| Figure 97 : Le réseau d'eau potable au sein du quartier Oz..... | 241 | Figure 134 : Plan des voies de la gare nouvelle..... | 356 |
| Figure 98 : Le réseau d'eaux usées au sein du quartier Oz | 242 | Figure 135 : Découpage IPP | 367 |
| Figure 99 : Le réseau électrique au sein du quartier Oz | 242 | Figure 136 : Emissions des polluants considérés en Kg/Jour..... | 369 |
| Figure 100 : Les ensembles fonctionnels au sein de la gare..... | 243 | Figure 137 : Consommation énergétique | 369 |
| Figure 101 : Schéma de localisation des remblais et déblais réalisés pour le projet Oz (Source SAAM)..... | 247 | Figure 138: Tubes passifs en NO ₂ | 380 |
| Figure 102 : Schéma d'organisation de la gare nouvelle | 253 | Figure 139: Tubes passifs en BTEX (mesure du Benzène)..... | 380 |
| Figure 103 : Schéma de localisation du bâtiment-voyageurs et des parkings par rapport à la zone rouge du PPRI | 256 | Figure 140: Disposition des tubes dans le boîtier..... | 380 |
| Figure 104 : Schéma de synthèse des objectifs du PDU | 268 | Figure 141: Disposition des tubes et pose des boîtiers..... | 380 |
| Figure 105 : Contours de concentration pour le benzène (entre 0 et le maximum) pour H2..... | 291 | Figure 142: Localisation du domaine d'étude | 382 |

| | |
|---|-----|
| Figure 143 : Modèle numérique du terrain pour l'état initial | 382 |
| Figure 144 : Modèle numérique du terrain pour l'état futur sans projet..... | 383 |
| Figure 145 : Modèle numérique du terrain pour l'état futur avec projet..... | 383 |
| Figure 146 : Réseau routier modélisé pour l'état initial..... | 384 |
| Figure 147 : Réseau routier modélisé pour l'état futur avec projet | 384 |
| Figure 148 : Réseau routier modélisé pour l'état futur avec projet | 385 |
| Figure 149 : Découpage IPP | 388 |
| Figure 150 : calendrier prévisionnel des dépenses..... | 416 |

TABLE DES PHOTOGRAPHIES

| | |
|--|-----|
| Photo 1 : Nègue-Cats (Lattes) Photo 2 : Nègue-Cats (Montpellier) | 105 |
| Photo 3 : Chaussée submersible par forte (rue de la Banquière, à l'ouest de la zone d'étude | 114 |
| Photo 4 : Zone inondable à proximité du château de La Mogère | 114 |
| Photo 5 : Nègue-Cats amont Photo 6 : Cultures Photo 7 : Vignobles..... | 136 |
| Photo 8 : Bosquet de Frêne (<i>Fraxinus angustifolia</i>) Photo 9 : Fiches..... | 136 |
| Photo 10 : Odysseum Photo 11 : Accessibilité du pôle Odysseum..... | 160 |
| Photo 12 : Lycée Pierre Mendès France | 161 |
| Photo 13 : Gymnase Françoise Spinosi Photo 14 : Stadium multisports, Boirargues | 163 |
| Photo 15 : Poste de gaz Montpellier Mas Rouge | 166 |
| Photo 16 : Autoroute A9 actuelle..... | 173 |
| Photo 17 : Transport HT à Odysseum | 174 |
| Photo 18 : Vue du point de mesure et vue vers le site de la nouvelle gare | 178 |
| Photo 19 : Vue du point de mesure et depuis le point de mesure vers le site de la nouvelle gare..... | 179 |
| Photo 20 : Vue du point de mesure et vue vers le site de la nouvelle gare | 180 |
| Photo 21 : AOC des coteaux de la Méjanelle Photo 22 : Parc du château de la Mogère | 197 |
| Photo 23 : Plateau agricole au cœur du site | 197 |
| Photo 24 : Vue sur le site d'implantation depuis la rue de la Fontaine de la Banquière..... | 201 |
| Photo 25 : Vue sur le site d'implantation depuis la rue de la Fontaine de la Banquière..... | 201 |
| Photo 26 : Vue sur le site d'implantation depuis la route de Vauguières | 201 |
| Photo 27 : Vue sur le site d'implantation depuis le lycée Mendès-France | 201 |
| Photo 28 : Vue sur le site d'implantation depuis la route de Vauguières | 202 |
| Photo 29 : Vue sur le site d'implantation depuis la route du Mas Rouge | 202 |
| Photo 30 : La plaine de la Lironde..... | 202 |
| Photo 31 : Le coteau de la Lironde..... | 202 |

| | |
|---|-----|
| Photo 32 : Le plateau agricole..... | 204 |
| Photo 33 : Les coteaux de la Méjanelle | 204 |
| Photo 34 : Limite franche au nord : Vue sur l'A9..... | 204 |
| Photo 35 : Limite franche au nord : Vue sur l'A9 depuis le lycée Mendès-France | 205 |
| Photo 36 : Transition paysagère au sud-est..... | 205 |
| Photo 37 : Transition au sud-est : Vue sur Boirargues | 205 |
| Photo 38 : Limite sud-est : Vue sur Boirargues..... | 205 |
| Photo 39 : Limite ouest : Vue sur la route de la Mer | 206 |
| Photo 40 : Mas Rouge | 207 |
| Photo 41 : Le château de la Mogère (Photo de Stéphane Leclerc)..... | 209 |
| Photo 42 : Mas de Comolet et vignes Photo 43 : Bâti autour du Mas rouge..... | 210 |
| Photo 44 : Emprise de grand chantier..... | 276 |

TABLE DES CARTES

| | |
|---|-----|
| Carte 1 : Localisation du projet dans l'agglomération | 26 |
| Carte 2 : Localisation de la zone d'étude..... | 27 |
| Carte 3 : Localisation du projet dans l'agglomération | 50 |
| Carte 4 : Localisation de la zone d'étude..... | 53 |
| Carte 5 : Relief de la zone d'étude..... | 99 |
| Carte 6 : Contexte géologique | 101 |
| Carte 7 : Milieu physique et risques naturels | 111 |
| Carte 8 : Milieu naturel - Protections réglementaires | 125 |
| Carte 9 : Zones d'inventaires et outils de gestion du milieu naturel | 131 |
| Carte 10 : Typologie des habitats naturels rencontrés sur la zone d'étude | 137 |
| Carte 11 : Enjeux écologiques des habitats naturels..... | 138 |
| Carte 12 : Prospections faunistiques | 140 |
| Carte 13 : Synthèse des enjeux faune et flore | 147 |
| Carte 14 : Zonage des documents d'urbanisme | 158 |
| Carte 15 : Activités et équipements | 162 |
| Carte 16 : Réseaux et servitudes | 165 |
| Carte 17 : Infrastructures de transport | 172 |
| Carte 18 : Localisation des points de mesures acoustiques..... | 177 |
| Carte 19 : Localisation et résultats des mesures de la qualité de l'air | 191 |
| Carte 20 : Couvert végétal..... | 198 |

| | |
|--|-----|
| <i>Carte 21 : Les vues en direction du site d'implantation de la gare</i> | 200 |
| Carte 22 : Entités paysagères..... | 203 |
| <i>Carte 23 : Patrimoine de la zone d'étude.....</i> | 208 |
| Carte 24 : Synthèse des enjeux du projet | 212 |
| <i>Carte 25 : Localisation du site de gare ouest (Source RFF – 2008).....</i> | 218 |
| <i>Carte 26 : Localisation du site de gare Est (Source RFF – 2008).....</i> | 219 |
| <i>Carte 27 : Evaluation de l'impact acoustique en période jour (7h-22h) après projet</i> | 281 |
| <i>Carte 28 : Evaluation de l'impact acoustique en période nuit (22h-7h) après projet</i> | 281 |
| <i>Carte 29 : Ambiance acoustique initiale avant projet en période jour (7h-22h).....</i> | 281 |
| <i>Carte 30 : Ambiance acoustique initiale avant projet en période nuit (22h-7h).....</i> | 281 |
| <i>Carte 31 : Carte d'évaluation des niveaux sonores en façade des habitations en période de jour (7h-22h).</i> | 282 |
| <i>Carte 32 : Carte d'évaluation des niveaux sonores en façade des habitations en période de nuit (22h-7h).</i> | 283 |
| <i>Carte 33 : Evaluation de l'impact acoustique en période jour (7h-22h) après projet</i> | 285 |
| <i>Carte 34 : Evaluation de l'impact acoustique en période nuit (22h-7h) après projet</i> | 285 |
| <i>Carte 35 : Ambiance acoustique initiale avant projet en période jour (7h-22h).....</i> | 285 |
| <i>Carte 36 : Ambiance acoustique initiale avant projet en période nuit (22h-7h).....</i> | 285 |
| <i>Carte 37 : Carte d'évaluation des niveaux sonores en façade des habitations en période de jour (7h-22h).</i> | 286 |
| <i>Carte 38 : Carte d'évaluation des niveaux sonores en façade des habitations en période de nuit (22h-7h).</i> | 287 |
| <i>Carte 39 : Localisation du site « Méjanelle –Pont Trinquat » à l'échelle de l'agglomération</i> | 355 |
| <i>Carte 40 : Vue aérienne du site et des zones actuellement urbanisées</i> | 358 |
| <i>Carte 41 : Réseau viaire dans l'aire d'étude (Source Via Michelin).....</i> | 359 |